

УДК 535.551

## ФОТОУПРУГИЕ СВОЙСТВА ГАЛОГЕНИДОВ СВИНЦА В СРЕДНЕМ ИК ДИАПАЗОНЕ

*K. С. Александров, Г. О. Андрианов, Ч. Барта,<sup>1</sup>  
A. В. Замков, B. B. Леманов, A. Триска<sup>1</sup>*

Исследованы оптические и упругие свойства кристаллов  $PbCl_2$  и  $PbBr_2$ , а также их фотоупругие свойства на длине волны 10.6 мкм. Рассчитаны значения упругих и фотоупругих коэффициентов. Показано, что акустооптическая добротность кристаллов  $PbBr_2$  на длине волны 10.6 мкм превышает добротность германия при хорошей прозрачности в области от 0.4 до 28 мкм.

Систематические исследования фотоупругих свойств кристаллов представляют интерес для выяснения механизмов акустооптического взаимодействия. Кроме того, такие исследования позволяют находить материалы, перспективные для создания акустооптических устройств управления оптическим излучением.

В настоящей работе приводятся результаты исследования фотоупругих свойств кристаллов галогенидов свинца ( $PbCl_2$ ,  $PbBr_2$ ) на длине волны 10.6 мкм. В видимом диапазоне эти кристаллы исследовались в работах [1, 2], предварительные данные для кристаллов  $PbCl_2$  для среднего ИК диапазона сообщались в [3].

Кристаллы галогенидов свинца (ромбическая сингония, точечная группа  $D_{2h}$ ) выращивались методом Бриджмена с использованием сырья специальной очистки (99.9999 %). Температура поддерживалась с точностью 0.2 °C, скорость роста составляла 5 мм/ч. Температурное поле в кристаллизаторе устанавливалось таким образом, чтобы в расплаве отсутствовала конвекция и не было нежелательных колебаний температуры на границе раздела кристалл—расплав. В процессе роста поддерживался практически нулевой радиальный температурный градиент, а в процессе отжига, который продолжался 24 ч, — нулевой аксиальный градиент.

Нами были измерены спектры пропускания кристаллов (рис. 1), показатели преломления на длине волны 10.6 мкм методом призмы (табл. 1), скорости  $v$ , затухания упругих волн на частоте 150 МГц и акустооптическая добротность  $M_2$  на длине волны 10.6 мкм. Кроме того, рассчитаны характерные частоты для анизотропного акустооптического взаимодействия в  $PbBr_2$ .

Таблица 1

Коэффициенты преломления (для 10.6 мкм) и упругие постоянные  
(в ГПа)

	$\rho$ , г/см <sup>3</sup>	$n_a$	$n_b$	$n_c$	$C_{11}$	$C_{22}$	$C_{33}$	$C_{44}$	$C_{55}$	$C_{66}$
$PbCl_2$	5.85	2.074	2.062	2.110	40.5	48.2	43.0	9.1	20.0	5.7
$PbBr_2$	6.62	2.252	2.285	2.348	31.1	34.9	35.1	10.2	18.6	3.1

<sup>1</sup> Институт физики ЧСАН, г. Прага.

Для измерения акустооптической добротности использовался метод Диксона—Коена [4] с кристаллом германия в качестве эталона. Источником света служил  $\text{CO}_2$  лазер с длительностью импульсов  $10^{-4}$  с и мощностью 5 Вт. Интенсивность дифрагированного света измерялась компенсационным методом. Отношение сигнал—шум в большинстве случаев было не хуже  $10^3$ , и лишь при самых малых константах взаимодействия это отношение уменьшалось до 10. В качестве приемника оптического

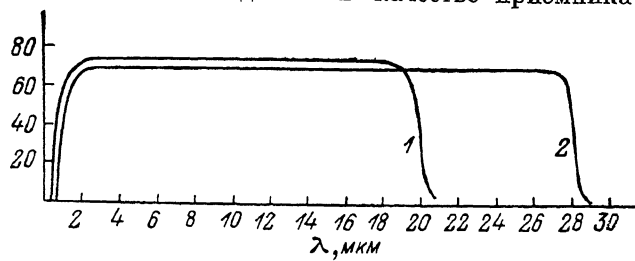


Рис. 1. Спектры пропускания  $\text{PbCl}_2$  (1) и  $\text{PbBr}_2$  (2).

излучения использовалось фотосопротивление КРТ, охлаждаемое жидким азотом. Поляризация падающего и дифрагированного света контролировалась решеткой-поляризатором типа РПИ-4-01. Кристаллографические оси  $X$  ( $a$ ),  $Y$  ( $b$ ),  $Z$  ( $c$ ) образцов выбраны таким образом, чтобы для постоянных решетки выполнялось соотношение  $b > a > c$ . Все измерения проводились при комнатной температуре.

Таблица 2

Фотоупругие коэффициенты  
и акустооптическая добротность ( $10^{-18}$  ГГц)

		Индексы					
		11	21	31	12	22	32
$\text{PbCl}_2$	$\frac{p_{ij}}{M_2}$	0.190 27	0.250 45	0.167 23	0.244 34	0.246 34	0.163 17
$\text{PbBr}_2$	$\frac{p_{ij}}{M_2}$	0.331 212	0.288 175	0.232 134	0.156 40	0.265 125	0.160 53

Таблица 2 (продолжение)

		Индексы					
		13	23	33	44	55	66
$\text{PbCl}_2$	$\frac{p_{ij}}{M_2}$	0.195 25	0.263 47	0.154 18	0.084 78	0.065 9	0.040 23
$\text{PbBr}_2$	$\frac{p_{ij}}{M_2}$	0.184 55	0.314 174	0.165 56	0.058 45	0.070 27	0.070 335

Рассчитанные из экспериментальных данных значения упругих и фотоупругих коэффициентов приведены в табл. 1, 2. При расчетах использовались значения фотоупругих коэффициентов германия из работы [5]. Затухание упругих волн в зависимости от направления распространения и поляризации звука на частоте 150 МГц меняется от 0.2 до 1.0 дБ/мкс. Затухание в обоих кристаллах в целом отличается незначительно. Точность измерения показателей преломления составляла 0.5 %, а упругих

и фотоупругих коэффициентов 1.5 и 2 % соответственно. Отметим, что данные по упругим модулям в пределах ошибок опыта согласуются с данными работы [6], кроме значений  $C_{11}$  и  $C_{66}$  для  $\text{PbBr}_2$ , которые отличаются примерно на 4 %.

Как видно из рис. 1 и табл. 2, исследованные кристаллы, особенно  $\text{PbBr}_2$ , являются эффективными акустооптическими материалами для среднего ИК диапазона. Кристаллы прозрачны в широком диапазоне длин волн света от видимой области до примерно 20 мкм для  $\text{PbCl}_2$  и 28 мкм для  $\text{PbBr}_2$  (край поглощения для  $\text{PbCl}_2$  сдвинут по сравнению с  $\text{PbBr}_2$  пропорционально корню квадратному из отношения масс). Из табл. 2 следует, что для  $\text{PbBr}_2$  акустооптическая добротность во многих

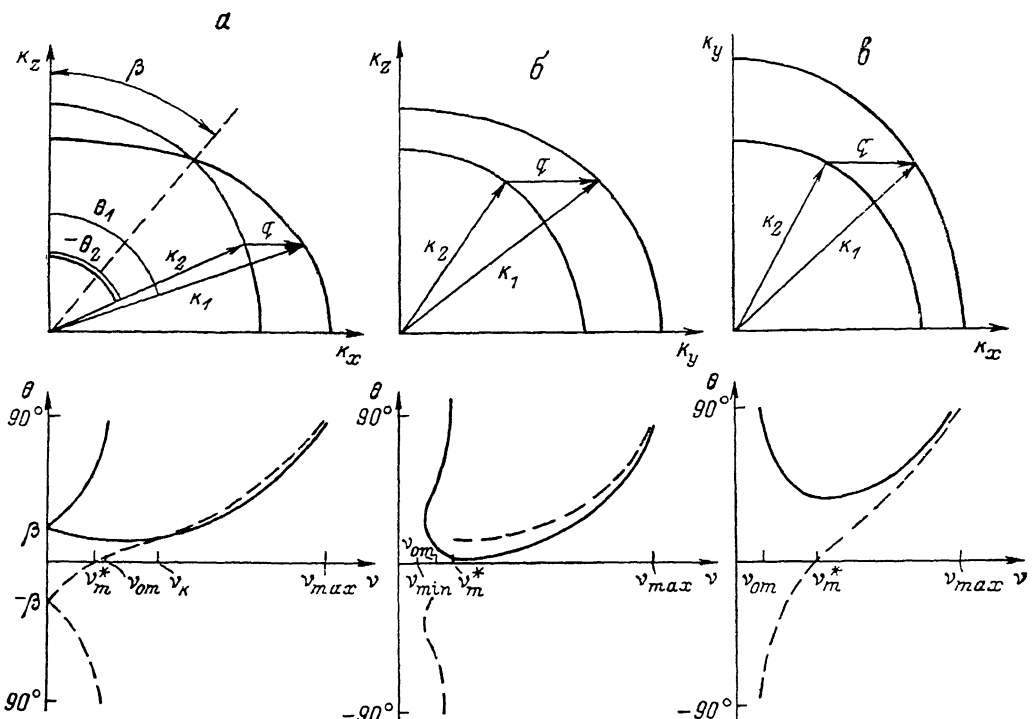


Рис. 2. Сечение поверхности волновых векторов плоскостью рассеяния в оптически двухосном кристалле и зависимости углов падения ( $\theta_1$  — сплошные линии) и рассеяния ( $\theta_2$  — штриховые линии) света от частоты упругой волны для плоскостей рассеяния ( $ZX$ ) (α), ( $ZY$ ) (β), ( $YX$ ) (γ).

случаях превышает максимальную акустооптическую добротность германия, который считается одним из наиболее перспективных акустооптических материалов для ИК диапазона. Так, например, для фотоупругого коэффициента  $p_{66}$  акустооптическая добротность  $M_2$  для  $\text{PbBr}_2$  в 2.5 раза превышает максимальное значение  $M_2$  германия. Однако в отличие от германия галогениды свинца являются оптически анизотропными материалами, что значительно расширяет возможности их использования в акустооптике. Из табл. 1 следует, что при длине волны 10.6 мкм оптические оси лежат в плоскости ( $ZY$ ) для  $\text{PbCl}_2$  и в плоскости ( $ZX$ ) для  $\text{PbBr}_2$ . Угол между оптическими осями и осью  $Z$  составляет 66° для  $\text{PbCl}_2$  и 37° для  $\text{PbBr}_2$ .

Как известно, в оптически анизотропных кристаллах возникают новые коэффициенты фотоупругости, связанные с поворотами элементов объема при распространении в кристалле упругой волны [7]. Для ромбических кристаллов такими новыми компонентами являются  $p_{11}$ ,  $p_{55}$ ,  $p_{66}$ . Эти компоненты могут быть непосредственно измерены акустооптическим методом. Так, интенсивность анизотропной дифракции в плоскости ( $YX$ )

Таблица 3

Характерные частоты упругих волн при анизотропной дифракции света в двухосных кристаллах [8] с оптическими осями в плоскости ( $ZX$ )

	$\nu_{\min}$	$\nu_m^*$	$\nu_{om}$	$\nu_k$	$\nu_{\max}$
( $ZX$ ), $\mathbf{q} \parallel X$	—	$\frac{v}{\lambda_0} (n_y^2 - n_x^2)^{1/2}$	$\frac{v}{\lambda_0} (n_z - n_y)$	$\frac{2v}{\lambda_0} \sin \Gamma$	$\frac{v}{\lambda_0} (n_y + n_z)$
( $ZY$ ), $\mathbf{q} \parallel Y$	$\frac{v}{\lambda_0 n_y} [(n_y^2 - n_x^2) \times$ $\times (n_z^2 - n_y^2)]^{1/2}$	$\frac{v}{\lambda_0} \frac{n_x}{n_y} (n_y^2 - n_x^2)^{1/2}$	$\frac{v}{\lambda_0} (n_z - n_x)$	—	$\frac{v}{\lambda_0} (n_x + n_z)$
( $YX$ ), $\mathbf{q} \parallel X$	—	$\frac{v}{\lambda_0} (n_z^2 - n_x^2)^{1/2}$	$\frac{v}{\lambda_0} (n_z - n_y)$	—	$\frac{v}{\lambda_0} (n_z + n_y)$

на поперечной волне вдоль  $Y$ , поляризованной по  $Z$ , определяется компонентой  $p_{44}$ , а интенсивность анизотропной дифракции в плоскости ( $ZX$ ) на поперечной волне вдоль  $Z$ , поляризованной по  $Y$ , определяется компонентой  $p_{44}$ . Непосредственные измерения для  $PbCl_2$  дают

$$p_{44} - p_{44} = 0.054 - 0.069 = 0.015.$$

С другой стороны, из работы [7] следует

$$p_{44} - p_{44} = 1/n_b^2 - 1/n_c^2 = 0.01,$$

что разумно согласуется с экспериментом.

Поскольку галогениды свинца являются оптически двухосными кристаллами, геометрия акустооптического взаимодействия оказывается для

них более сложной, чем в одноосных кристаллах. На рис. 2,  $a$ — $e$  приведены сечения поверхностей волновых векторов плоскостями рассеяния и зависимости углов падения и дифракции от частоты упругих волн. На диаграммах указаны характерные частоты упругих волн. Формулы для расчета этих частот сведены в табл. 3. Численные значения характерных частот для бромида свинца приведены в табл. 4. Частоты  $\nu_{om}$  и  $\nu_{\max}$  соответствуют коллинеарному взаимодействию при рассеянии света вперед и назад; при частоте  $\nu_m^*$  волновой вектор света  $k$  перпендикулярен волновому вектору упругих волн  $q$ , а частота  $\nu_k$  соответствует направлению векторов  $k_1$  и  $k_2$  вдоль оптических осей кристалла.

Зависимости, приведенные на рис. 2,  $a$ — $e$ , дают возможность выбора оптимальной геометрии для акустооптических устройств управления оптическим излучением (модуляторы, дефлекторы, монохроматоры и др.).

#### Л и т е р а т у р а

- [1] Замков А. В., Коков И. Т., Анистратов А. Т. // Кристаллография. 1979. Т. 24. № 3. С. 617—618.
- [2] Zamkov A. V., Kokov I. T., Anistratov A. T. // Phys. St. Sol. (a). 1983. V. 79. P. K177—180.
- [3] Александров К. С., Андрианов Г. О., Дьяконов А. М. и др. // Письма в ЖТФ. 1986. Т. 12. № 12. С. 737—740.
- [4] Dixon R. W., Cohen M. G. // Appl. Phys. Lett. 1966. V. 9. P. 205—208.
- [5] Feldman A., Waxler R. M., Horowitz D. // J. Appl. Phys. 1978. V. 49. N 4. P. 2589—2590.
- [6] Александров К. С., Бурков С. И., Сорокин Б. П., Шабанов Л. А. // ФТТ. 1988. Т. 30. № 1. С. 227—232.
- [7] Nelson D. F., Lax M. // Phys. Rev. B. 1973. V. 3. N 8. P. 2778—2794.
- [8] Lemanov V. V. // Ferroelectrics. 1974. V. 7. P. 11—16.